

칼슘, 란타눔, 망간 이온이 토끼 유두근 완만내향전류 및 수축에 미치는 영향

Effect of Calcium, Lanthanum and Manganese ions on the Slow Inward Current and Contraction in the potassium depolarized rabbit papillary muscle

서울대학교 의과대학 생리학교실

(지도: 남기용 교수)

연 구 의

서 론

심장근 활동전압의 고원기(高原期)는 이온들의 내향전류와 외향전류의 복잡한 균형에 의하여 유지된다(Fozzard and Gibbons, 1973; Trautwein, 1973 a, b; Beeler and Reuter, 1977). 이 가운데 완만내향전류는 시간에 따른 변화성(kinetics)(Rougier et al., 1968), 세포외액의 Ca^{++} 농도에 좌우되는 점(Reuter, 1967), 그리고 tetrodotoxin에 대한 무반응성(Rougier et al., 1969) 등으로 급속내향전류와는 구분된다. 급속내향전류가 Na^+ 의 세포내로의 이동 즉 i_{Na} 에 의한 급속 탈분극(Weidmann, 1955)인데 반하여 완만내향전류에는 Na^+ 와 Ca^{++} 이 모두 관여하며 특히 Ca^{++} 이 더 큰 부분을 차지한다(Reuter, 1973; Beeler and Reuter, 1977; Mainwood and McGuigan, 1977).

완만내향전류(i_s)는 홍분-수축 연결에 가장 기본적 역할을 하는 Ca^{++} 의 관여로 주목을 받아 왔다(Bassingthwaite and Reuter, 1972; Langer, 1973). 즉 탈분극이 일어나 Ca^{++} 이 세포 속으로 이동하고 이동된 Ca^{++} 에 의하여 세포 속 Ca^{++} 저장고로부터 더 많은 Ca^{++} 을 유리시켜 수축 기구가 수축을 하게 된다(Endo et al., 1970; Ford and Podolsky, 1970; Coraboeuf, 1974).

완만내향전류에 의한 고원기는 이온들의 이동 방향의 합계가 밖으로 향하게 되면 세분극이 시작되는 테이째는 고원기 유지 전류인 완만내향전류, i_s 의 비활성화 및 K^+ 의 내향성 변칙 조정(anomalous rectification, i_{kr})과 자연 조정(i_r)에 의한 외향전류에 의한 것이다(Noble and Tsien, 1972; Noble, 1975; Beeler and Reuter, 1977).

이와 같은 실험결과들은 막전압 고정법에 의하여 막

전압을 $-50\sim-40\text{mV}$ 로 고정하여 급속내향전류를 비활성화시키고 완만내향전류를 분리할 수 있게 됨으로써 밝혀졌는데 최근에는 심장근과 같이 세포결체 조직에서는 균일하게 막전압을 고정하기 어려우며 기록된 전류의 방향, 크기 등을 잘못 해석할 수 있다는 반론도 있기는 하다(Johnson and Lieberman, 1971).

이 논문은 세포외액의 K^+ 농도를 올려(Pappano, 1970) 막전압을 $-40\sim-45\text{mV}$ 로 고정한 후 histamine으로 완만내향전류를 증강시켜(Inui and Imamura, 1976; 엄·김, 1978) 활동전압 및 수축을 증가시키고 세포외액의 Ca^{++} 농도 변동에 따른 이들의 변화, 완만내향전류 억제제인 La^{+++} , Mn^{++} (Reuter, 1973) 가하여 활동전압 및 수축의 변화를 관찰하고 Ca^{++} 에 의한 완만내향전류의 특성을 분석하여 보고하는 것이다.

실험방법

집토끼 심장을 적출하여 준비용기 속에서 100% O_2 로 평형을 이룬 Tris-완충용액(표 1-A)에 넣고 우심실에서 무게 1~2mg, 길이 4~7mm의 유두근을 등장성(isometric) 근 수축 변환기(Grass FT .03)에 연결된 근육 고정기에 심장에 붙어 있던 질이대로 적출, 고정하여 실온에서 1시간 가량 방치하였다. 그런 후에 35°C의 HCO_3^- -완충 Tyrode용액(표 1-B)을 3% CO_2 -97% O_2 로 평형을 이룬 실험용기(용량 3ml)에 옮겨 관류속도 6~10ml/min로 30~40분간 유지하고 실험하였다.

Ca^{++} 실험군은 27mM K^+ 을 포함하는 Tyrode용액(Na 23mM 대신 K 23mM로 대치)에 histamine 10 μM 을 가하고 Ca^{++} 농도를 0.5, 1.0, 2.0, 4.0mM 순으로 변화시켰고, Mn^{++} 실험군에서는 2mM Ca^{++} 이 포함된 27mM K^+ -Tyrode 용액에 10 μM 의 histamine을 추가하고

—임상의 : 유두근 완만내 향전류 및 수축—

Table 1. Composition of Solutions for Perfusion (mM/L)

A. Solution for preparation with 100% O ₂ (22°C)	
NaCl	158
KCl	4.0
CaCl ₂	2.0
MgCl ₂	1.0
Tris	8.3
pH	7.30

B. Bicarbonate buffer solution with 97% O ₂ +3% CO ₂ (35°C)	
NaCl	149
KCl	4.0
CaCl ₂	2.0
MgCl ₂	1.0
pH	7.30~7.35

(titrate with NaHCO₃)

Mn⁺⁺농도를 30, 100, 300μM로 증가시켰으며 La⁺⁺⁺실험군에서는 100% O₂로 평형을 이루고 있는 Tris-완충 Tyrode 용액에 2mM Ca⁺⁺ 및 10μM histamine을 가하고 La⁺⁺⁺농도를 10, 30, 50, 100μM로 증가시켜 각 농도에서의 수축, 장력의 변화속도(dT/dt), 활동전압 및 V_{max}(최대 탈분극 속도, (dV/dt) max)를 기록하였는데 모든 농도에서 15~20분 유지한 다음 그때 값을 그 농도에서의 대표치로 취하였다.

수축은 등장성 수축 변환기(Grass FT.03형)를 기록기(Device)에 연결 기록하였고 dT/dt는 시정수 75μs인 미분기로 기록기에 기록하였다. 활동전압은 끝의 직경이 0.5μ이 하인 유리 미세전극을 3M KCl로 채워 전

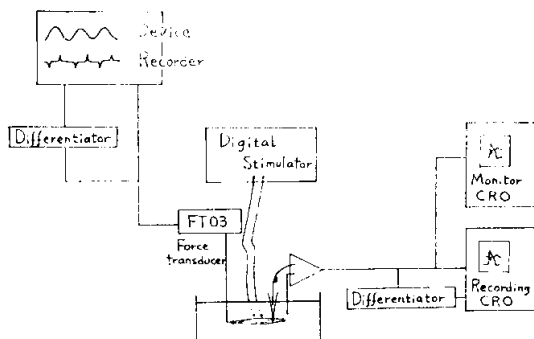


Fig. 1. System for recording the transmembrane potential and contraction with its first derivatives in rabbit papillary muscle.

극 저항이 10~20MΩ인 것을 써서 입력 임피던스가 10¹²Ω인 미세전극 전극 중폭기를 통하여, V_{max}는 전극 중폭기에서 나온 활동전압을 미분기에 연결하고 그 미분치를 활동전압과 함께 2대의 오실로스코프(Tektronix 564B, Advance OS 2200)에 동시 기록하여 사진 활용하였으며, 자극은 수치식 자극기(MEC-6011)를 이용하여 0.25Hz에서 역치의 2~3배의 크기로 하였다. 그림 1에 기록장치의 전체적인 연결을 나타냈다.

실험 성적

정상 Tyrode 용액으로 관류한 유두근에서의 활동전압 및 27mM K⁺-Tyrode 용액에 10μM의 histamine을 첨가하고 얻은 활동전압 및 수축을 기록하였는데 정상 막전압은 -80~-85mV, 활동전압의 크기는 약 105mV, 기간은 200~250msec의 범위에 있었고 27mM K⁺으로 저분극시킨 경우에 막전압은 -40~-45mV, 활동전압의 크기는 70~80mV였고 기간은 정상과 비슷한 범위였다.

Ca⁺⁺의 효과

Ca⁺⁺이 없는 27mM K⁺-Tyrode 용액에 10μM histamine을 첨가하고 30분 방치 후에 Ca⁺⁺농도를 0.5~4.0 mM로 증가시켰을 때의 활동전압 및 V_{max}를 그림 2에 나타냈다.

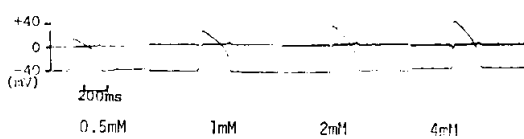


Fig. 2. Effect of Ca⁺⁺ on Action Potential and V_{max} restored by 10μM histamine in rabbit papillary muscle partially depolarized by 27mM K⁺.

낮은 농도의 Ca⁺⁺에서는 활동전압의 크기, V_{max}가 작고 기간(탈분극부터 95% 재분극되기까지의 시간)은 진데 비하여 농도가 증가함에 따라 크기 및 V_{max}가 커지고 안정 막전압은 거의 변화가 없는 반면 기간은 감소되었다.

그림 3은 수축에 대한 Ca⁺⁺의 영향을 보인 것이다. 그림 4는 Ca⁺⁺ 농도에 따른 수축 및 V_{max}의 평균치를 2mM Ca⁺⁺ 때를 기준으로 백분율로 환산하여 Ca⁺⁺ 농도를 대수 눈금으로 한 그림에 나타낸 것이다. 수축은 0.5mM Ca⁺⁺ 때 41.6±3.0%(평균±표준오차), 1mM 때 54.5±3.6%, 4mM 때는 183.0±6.7%였고 V_{max}는 각각 50.0±3.3%, 72.7±2.5%, 120.9±3.9%였다. 수

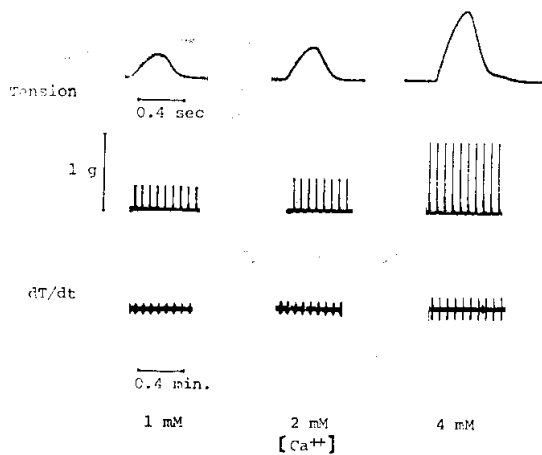


Fig. 3. Effect of Ca^{++} on tension and its dT/dt restored by $10\mu\text{M}$ histamine in rabbit papillary muscle partially depolarized by 27mM K^{+} .

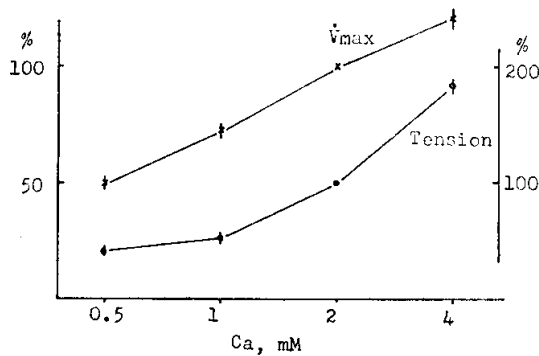


Fig. 4. Effect on external Ca^{++} on Tension and \dot{V}_{max} restored by $10\mu\text{M}$ histamine in rabbit papillary muscle partially depolarized by 27mM K^{+} (expressed as % of control value and vertical bars indicate $\pm\text{S.E.}$ of the mean).

축 및 \dot{V}_{max} 모두 Ca^{++} 농도에 비례하여 증가하였고 특히 \dot{V}_{max} 는 직선적인 관계를 보였다. 그럼 5에 활동전 암의 크기 및 기간의 변화를 보인다. 활동전 암의 크기 및 기간은 0.5mM Ca^{++} 농도에서는 $50 \pm 2.5\text{mV}$ 및 $260 \pm 15.2\text{msec}$ 였고 1mM 에서 $63 \pm 1.3\text{mV}$, $245 \pm 14.3\text{msec}$, 2mM 에서 $71 \pm 3.8\text{mV}$, $230 \pm 14.4\text{msec}$, 4mM 에서 $81 \pm 2.1\text{mV}$, $212 \pm 15.6\text{msec}$ 로 농도증가에 따라 활동전 암의 크기는 증가하고 기간은 감소하였다. 활동전 암 크기의 증가는 직선적이었고 Ca^{++} 농도가 10배 증가할 때 활동전 암은 32.4mV 증가하는 결과를 얻었는데 이는 Nernst 식으로 35°C 에서 계산한 값 30.5mV 와 거의 비슷하였다.

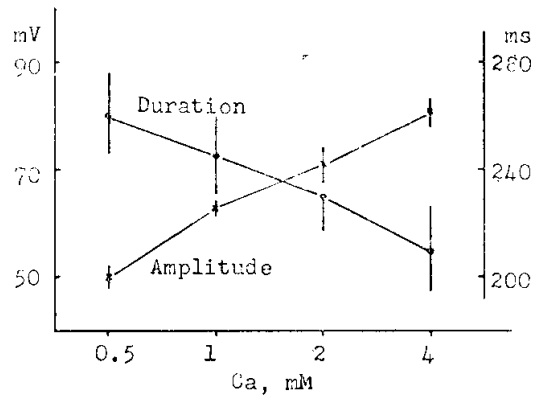


Fig. 5. Effect of external Ca^{++} on Amplitude and Duration of Action Potential restored by $10\mu\text{M}$ histamine in rabbit papillary muscle partially depolarized by 27mM K^{+} (vertical bars indicate $\pm\text{S.E.}$ of the mean).

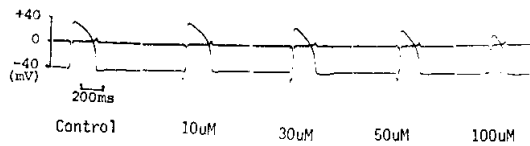


Fig. 6. Effect of La^{+++} on Action Potential and \dot{V}_{max} restored by $10\mu\text{M}$ histamine in rabbit papillary muscle partially depolarized by 27mM K^{+} .

La^{+++} 의 효과

2mM 의 Ca^{++} 이 들어 있는 27mM K^{+} Tris-완충 Tyrode 용액으로 관류하여 저분극시키고 La^{+++} 을 $10\sim100\mu\text{M}$ 의

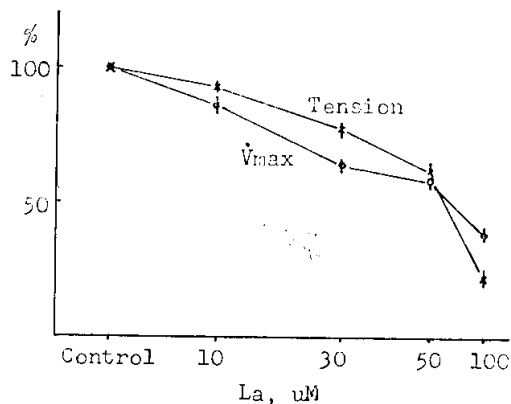


Fig. 7. Effect of La^{+++} on Tension and \dot{V}_{max} restored by $10\mu\text{M}$ histamine in rabbit papillary muscle partially depolarized by 27mM K^{+} (expressed as % of control value and vertical bars indicate $\pm\text{S.E.}$ of the mean).

순으로 증가시켰을 때의 활동전압 및 \dot{V}_{max} 의 변화를 그림 6에 보인다. 모두 대조치에 비하여 감소되었으며 100 μ M 용액에서는 지나치기 전압이 아주 낮았고 활동전압의 모양이 수축곡선처럼 변한 것이 특징이었다.

그림 7에 수축의 크기 및 \dot{V}_{max} 를 La⁺⁺⁺농도에 따라 대조값을 기준으로 %로 표시한 값들로 환산하여 La⁺⁺⁺농도를 대수눈금으로 한 횡축에 그린 것이다. 수축의 크기 및 \dot{V}_{max} 가 10 μ M La⁺⁺⁺용액에서는 86.2±2.9% 및 92.7±1.0%였고 30 μ M에서 73.8±2.0% 및 77.1±2.1%, 50 μ M에서는 59.5±2.1% 및 61.5±3.7%, 100 μ M에서 38.3±2.4% 및 21.9±3.1%로 농도 증가에 따라 감소 경향을 보였고 100 μ M에서 가장 현저한 감소를 보였다. 그림 8은 활동전압의 크기 및 기간의 변화를 보이는데 활동전압의 크기 및 기간이 대조값 77±1.0mV, 245±18.3msec였고 10 μ M La⁺⁺⁺용액

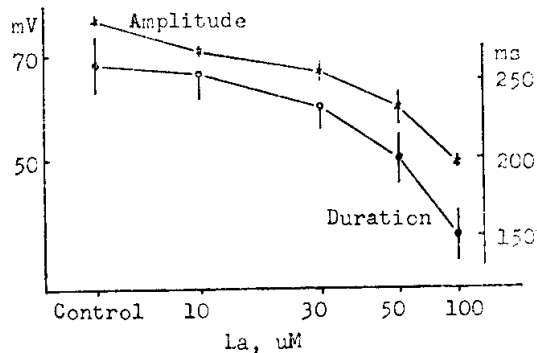


Fig. 8. Effect of Mn⁺⁺ on Amplitude and Duration of Action Potential restored by 10 μ M histamine in rabbit papillary muscle partially depolarized by 27mM K⁺ (vertical bars indicate \pm S.E. of the mean).

에서는 71±1.0mV, 240±15.4msec, 30 μ M 용액에서는 67±2.1mV, 224±15.3msec, 50 μ M에서는 59±3.8mV, 203±15.1msec, 100 μ M에서는 49±1.0mV, 150±14.7msec로 모두 감소하였다. La⁺⁺⁺은 활동전압의 크기와 \dot{V}_{max} , 수축을 감소시켰고 기간은 단축시켰다.

Mn⁺⁺의 효과

2mM의 Ca⁺⁺이 든 27mM K⁺-Tyrode 용액으로 관류한 후 Mn⁺⁺의 농도를 30, 100, 300 μ M의 순으로 증가시켜 활동전압 및 \dot{V}_{max} 에 대한 변화를 그림 9에 보인다. 활동전압, \dot{V}_{max} 는 모두 감소되었고 기간이 약간 길어진 것을 볼 수 있다.

그림 10은 수축 및 \dot{V}_{max} 를 앞서의 La⁺⁺⁺에서와 같은 방식으로 Mn⁺⁺농도에 그린 것이다. 30 μ M에서 수축은 84.6±3.8%, \dot{V}_{max} 는 81.0±10.4%였고 100 μ M

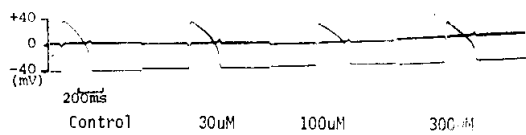


Fig. 9. Effect of Mn⁺⁺ on Action Potential and \dot{V}_{max} restored by 10 μ M histamine in rabbit papillary muscle partially depolarized by 27mM K⁺.

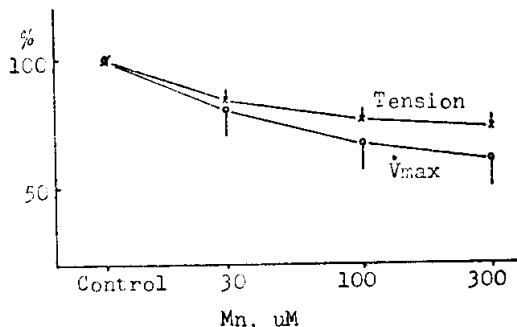


Fig. 10. Effect of Mn⁺⁺ on Tension and \dot{V}_{max} restored by 10 μ M histamine in rabbit papillary muscle partially depolarized by 27mM K⁺ (expressed as % of control value and vertical bars indicate \pm S.E. of the mean).

에서는 76.3±3.8% 및 67.3±10.7%, 300 μ M에서 75.7±3.0% 및 61.4±10.9%로 모두 감소되는 경향을 보였다. 그림 11에는 활동전압의 크기 및 기간을 그린 것으로 대조군에서 각각 75±1.3mV 및 230±13.6msec였고 30 μ M Mn⁺⁺용액에서 66±0.7mV 및 240±12.5msec, 100 μ M에서 64±1.2mV 및 252±12.4msec, 300 μ M에서 59.7±0.9mV 및 247±8.5msec로서 크기는 줄고 기간은 길어지는 경향을 보였다.

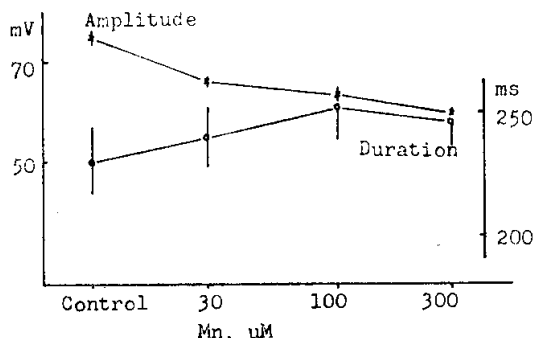


Fig. 11. Effect of La⁺⁺⁺ on Amplitude and Duration of Action Potential restored by 10 μ M histamine in rabbit papillary muscle partially depolarized by 27mM K⁺ (vertical bars indicate \pm S.E. of the mean).

고찰

막전압 고정법은 Na^+ 의 급속내향전류, i_{Na} (Weidmann, 1955)를 비활성화시킬 수 있기 때문에 심근에서의 완만내향전류의 특성을 밝히는데 널리 이용되어 왔다(Rougier et al., 1968; New and Trautwein, 1972). 이 방법은 골격근 섬유나 신경 섬유에서처럼 단일 세포를 대상으로 할 때에는 아주 이상적인 방법이나 심장근에서는 많은 세포가 모인 조직이기 때문에 다소의 문제점이 있긴하다(Johnson and Lieberman, 1971). 또한 세포밖 K^+ 농도를 올려서 막전압을 고정시키는 방법(Pappano, 1970)도 완만내향전류의 변화를 관찰하기에는 적당한 방법으로 평가되고 있다(Schneider and Sperelakis, 1974; Inui and Imamura, 1976). 본 실험에서는 27mM K^+ -Tyrode 용액을 써서 막전압을 $-40 \sim -45\text{mV}$ 로 고정하였으며 이 전압에서는 급속내향전류가 거의 완전히 비활성화 된다(Trautwein, 1973). histamine은 저분극된 심장근에 촉진적으로 작용하는데 그 기전은 완만내향전류를 촉진시키고 (Inui and Imamura, 1976; 엄·김, 1978) 세포속의 c-AMP의 농도를 증가시켜 세포속 Ca^{++} 저장고인 근장그물로부터의 수축에 필요한 Ca^{++} 유리를 촉진시키는 것으로 알려져 있다(Tsien, 1973; Katz and Repke, 1973; Fabiato and Fabiato, 1975). 본 실험에서 세기를 바꾸지 않는 자극강도에서 활동전압 및 수축이 회복되었다.

histamine으로 회복된 활동전압 및 수축은 관류액 속의 Ca^{++} 농도에 대단히 예민하게 반응하였고 10배의 농도 변화에 대해 활동전압의 크기가 32.4mV 변화하여 Nernst식에 의거 35°C 에서 계산한 값 30.5mV 와 거의 비슷하였다.

Ca^{++} 이 심장수축에 필수불가결하다는 사실이 알려진 이래 많은 연구가 계속 되었으나 주요 사실은 비교적 최근에 들어 알려졌다. 완만내향전류는 활동전압의 고원(plateau)을 이루는 전류로서 세포밖 Ca^{++} 농도에 따라 달라지며 Ca^{++} 이 주로 이 전류를 이루고 (Reuter, 1967, 1973; Bassingthwaighe and Reuter, 1972; Trautwein, 1973a) 이들에 의해 근육의 수축이 시작되는 데 이는 세포 밖에서 Ca^{++} 전류로서 들어간 Ca^{++} 이 세포속 Ca^{++} 저장고 특히 근장그물로부터 근육수축에 소요되는 충분한 양의 Ca^{++} 을 유리하기 때문이다(Rich and Langer, 1975; Fabiato and Fabiato, 1977). 그 결과 수축이 일어나며 이와 같은 심근 특유의 흥분-수축연결기전은 여러 관점에서 분석되었고(Langer, 1973;

Trautwein, 1973b; Weidmann, 1974; Reuter, 1974) 분명치는 않으나 Ca^{++} 전류와 수축 사이에 어떤 일정한 상호관계가 있음을 발견하고 그 변수를 찾는 시도가 있었다(Trautwein et al., 1975).

본 실험에서 활동전압의 크기 및 \dot{V}_{max} 가 Ca^{++} 농도에 직선적으로 변화하였고 수축 또한 증가하였는데 이는 모두 Ca^{++} 전류의 증가가 일어난 결과로 설명할 수 있겠다. 또 Ca^{++} 은 활동전압의 기간을 단축시켰는데 이는 고원 유지 전류의 초기 비활성화 또는 재분극을 일으키는 K^+ 의 지연조정(delayed rectification, i_x)의 증가로 설명 가능하다(Noble and Tsien, 1972). 그러나 Ca^{++} 에 의한 기전은 간단치 않고 크게 3가지 방향으로 요약할 수 있겠다. 첫째는 높은 농도의 Ca^{++} 이 세포밖에 있음으로 해서 완만내향전류가 일찍 비활성화되어 고원유지전류가 감소하여 생긴 결과라는 해석(Kohlhardt et al., 1975)과 둘째로는 세포밖에서 세포 속으로 Ca^{++} 전류가 증가하고 그 결과로 세포속의 Ca^{++} 농도가 커지고 이것이 다시 i_x 를 촉진하여 재분극이 빨리 일어난다는 주장(Isenberg, 1975; Bassingthwaighe et al., 1976)이 있고 셋째로는 세포막을 통한 Ca^{++} 전류의 크고 작은 사실 자체가 어떤 연결로 세포막의 K^+ 내향성 변칙조정(inward-going anomalous rectification, i_{ki}) (Cleemann and Morad, 1975)을 증가시켜서 재분극이 촉진된다(Kass and Tsien, 1976)는 해석이다. 그러나 어느 주장이 옳은지를 판정하기에는 아직 곤란할 것 같다.

Ca^{++} 에 의한 여러 반응들은 여러 가지 무기이온 La^{+++} , Mn^{++} , Co^{++} , Ni^{++} 등(Reuter, 1973) 및 유기 화합물인 Verapamil, D-600등(Fleckenstein, 1971)에 의하여 억제가 일어나는데 그 작용방식은 종류에 따라 조금씩 다른 것으로 생각된다. La^{+++} 은 회토류원소로서 수화되지 않는 원자의 반경이 1.01\AA 으로 Ca^{++} 의 0.99\AA 과 비슷하고 생체막에서는 주로 표면에 놓축되고 세포 속에는 들어가지 않음이 전자 현미경 소견으로 밝혀졌다(Langer, 1976). 즉 세포 표면의 두께가 500\AA 가량 되는 음하전을 띠고 있는 기저층(basement coat)에 모이는데 이곳이 바로 Ca^{++} 전류의 중요공급원이다(Nayler and Seabra-Gomes, 1975). 이곳에서 La^{+++} 은 Ca^{++} 과 상호교환되어 Ca^{++} 을 유리시키는데 이는 La^{+++} 의 음하전과의 높은 친화력 때문인 것으로 해석하고 있다(Sanborn and Langer, 1970). 따라서 Ca^{++} 의 세포막을 통한 이동이 감소된다고 한다(Weiss, 1974). 이런 억제작용은 신경 섬유에서도 증명되었는데 주로 Ca^{++} 에 의해 일어나는 탄분극을 억제하고(Miledi, 1971), 심근에서 는

—업용의 : 유두근 완만내향전류 및 수축—

완만내향전류를 감소시키는(Reuter, 1973; Kass and Tsien, 1975) 효과를 나타내는데 그 정도가 다른 무기이온에 비하여 대단히 크다고 한다(Langer, 1976). 본실험 결과에서도 낮은 농도($10\sim100\mu M$)의 La^{+++} 은 Ca^{++} 에 의한 활동전압의 크기 및 \dot{V}_{max} 를 감소시키고 수축도 감소시켰으며 활동전압의 기간도 단축하였다. 이런 결과들은 La^{+++} 에 의한 Ca^{++} 전류의 억제효과로서 설명할 수 있으나 활동전압의 기간이 짧아지는 사실은 설명이 간단하지 않다. 고원유지전류인 i_s 의 감소만으로 설명하기에는 세포막 Ca^{++} 농도가 낮은 경우에 일어나는 i_s 의 감소때와 활동전압 기간의 변화가 서로 상반되기 때문에 이 이론이 맞지 않는다. La^{+++} 이 i_s 를 감소시키는 기전 이외에 세포막 밖의 음하전 전하에 어떤 영향을 주고 그 결과로 채분극전류, i_K 가 커지는 가능성(Kass and Tsien, 1975)을 모두 고려해야 될 것 같다.

역시 같은 Ca^{++} 억제제로 알려진 Mn^{++} 도 La^{+++} 과 비슷한 기전으로 효과를 나타낸다(Reuter, 1973). 완만내향전류를 억제하고(Vitek and Trautwein, 1971; Hogan and Spitzer, 1975; Kass and Tsien, 1975) 따라서 수축이 억제되며 Mn^{++} 스스로 i_s 의 일부로 세포 속으로 들어가고(Reuter, 1973) 세포 속의 Mn^{++} 의 수축기구에 대한 영향도 고려해야 한다고 한다(Delahayes, 1975).

본 실험에서 Mn^{++} 은 활동전압의 크기, \dot{V}_{max} , 수축을 감소시켰으며 활동전압의 기간은 약간 연장시켰다. 이는 여러 실험 결과와(Hogan and Spitzer, 1975; Delahayes, 1975; Kass and Tsien, 1975; 업등, 1977) 잘 일치 하나 활동전압의 기간에 있어서는 논란이 많다. 활동전압이 길어졌다는 결과를 얻은 연구자들은(Hogan and Spitzer, 1975) Mn^{++} 이 K^+ 전류를 감소시키는 효과를 가지기 때문이라고 주장하는 반면 기간이 짧아졌다는 연구자들은 이 현상을 단순한 i_s 의 감소로 해석(Vitek and Trautwein, 1971) 하거나 혹은 K^+ 전류(i_K 혹은 i_s)를 증가시켰기 때문이라고 해석하기도 한다(Delahayes, 1975; Kass and Tsien, 1975). 그러나 이런 상반된 사실은 Mn^{++} 의 농도에 따른 두 가지 다른 작용으로 해석하는 것이 타당할 듯하다(Kass and Tsien, 1975).

이상의 사실에서 27mM K^+ -Tyrode 용액으로 저분극시킨 유두근을 histamine으로 Ca^{++} 내향전류 및 수축을 촉진시켜 본 결과 활동전압의 크기, \dot{V}_{max} 가 세포 밖 Ca^{++} 농도에 직선적으로 비례하고 Ca^{++} 농도의 10배 변화에 활동전압의 크기가 32.4mV 변화하여 Nernst식

으로 계산한 Ca^{++} 의 평형전압 값 30.5mV와 비슷하고 La^{+++} , Mn^{++} 에 의하여 모두 감소·억제되는 사실로 미루어 활동전압의 크기와 \dot{V}_{max} 를 Ca^{++} 내향전류 혹은 Ca^{++} 전도도(calcium conductance, g_{ca})의 한 척도로 삼을 수 있을 것 같다.

결 론

토끼 유두근을 27mM K^+ -Tyrode 용액에 10 μM 의 histamine을 첨가하여 활동전압 및 수축을 기록하고 이에 대한 Ca^{++} 농도의 영향 및 Ca^{++} 억제제인 La^{+++} , Mn^{++} 의 농도를 변화시키고 이들의 영향을 관찰 분석하여 다음과 같은 결론을 얻었다.

1. 27mM K^+ -Tyrode 용액에서 안정 막전압은 $-40\sim-45mV$ 로 저분극되어 고정되었으며 10 μM histamine에 의하여 활동전압 및 수축이 회복되었다.

2. Ca^{++} 농도 증가에 따라 활동전압의 크기 및 \dot{V}_{max} (최대 탈분극 속도, $(dV/dt)_{max}$)는 직선적으로 증가하였으나 기간은 짧아졌다.

3. La^{+++} 은 10~100 μM 의 농도에서 활동전압의 크기를 대조치 $77\pm1.0mV$ (평균±표준오차)에서 $49\pm1.0mV$ 로 감소시켰고 \dot{V}_{max} 및 장력을 $21.9\pm3.1\%$ 및 $38.3\pm2.4\%$ 로 각각 감소시켰으며 활동전압의 기간은 245±18.3msec에서 150±14.7msec로 단축시켰다.

4. Mn^{++} 은 활동전압의 크기를 $75\pm1.3mV$ 에서 $59.7\pm0.9mV$ 로 감소시켰으며 \dot{V}_{max} 및 수축의 크기는 $61.4\pm10.9\%$ 와 $75.7\pm3.0\%$ 로 각각 감소시켰으며 활동전압의 기간은 약간 연장시켰다.

5. 이상의 결과로 보아 27mM K^+ 으로 저분극된 토끼 유두근에서 활동전압의 크기 및 \dot{V}_{max} 가 Ca^{++} 에 의한 완만내향전류의 크기 즉 Ca^{++} 전도도(g_{ca})를 나타내는 척도라고 할 수 있겠다.

—ABSTRACT—

Effect of Calcium, Lanthanum and Manganese ions on the Slow Inward Current and Contraction in the potassium depolarized rabbit papillary muscle

Yung E Earm

Department of Physiology, College of Medicine

Seoul National University

(Directed by Professor Kee Yong Nam)

The effects of Ca^{++} , La^{+++} and Mn^{++} on the elec-

trical and mechanical responses of papillary muscle partially depolarized by 27 mM K⁺ were studied in rabbits.

1. When resting membrane potential of partially depolarized papillary muscle was set at -40 to -45 mV, there were no electrical and mechanical activities, after 10μM histamine addition, however, they reappeared.

2. After addition of histamine, Ca⁺⁺ increased the amplitude of action potential, V_{max} (maximum rate of depolarization, (dV/dt)_{max}) and magnitude of contraction, the duration of action potential, however, was shortened.

3. La⁺⁺⁺ in concentration of 10–100 μM decreased the amplitude of action potential from control value of 77±1.0 mV to 49±1.0 mV (Mean±S.E.), V_{max} and magnitude of contraction up to 21.9±3.1% and 38.3±2.4% of control respectively. The duration of action potential was shortened from 245±18.3 msec of control to 150±14.7msec.

4. Mn⁺⁺(30–300μM) decreased the amplitude of action potential from 75±1.3 mV to 59.7±0.9 mV, V_{max} and magnitude of contraction up to 61.4±10.9 % and 75.7±3.0% of control, but lengthened the duration slightly.

5. The above results suggest that the amplitude of action potential and V_{max} of partially depolarized papillary muscle are a measure of calcium-dependent slow inward current or calcium conductance, gca.

REFERENCES

임용의, 김전, 임대용, 김기환, 남기용 : 망간이온이 개구리 심방근의 막전압 및 수축력에 미치는 영향. 서울大學術誌, 18:37-43, 1977.

임용의, 김종수 : 히스타민이 저분극된 토끼유두근의 전기적 및 기계적 성질에 미치는 영향. 서울醫大學誌, 19 : 인쇄중, 1978.

Bassingthwaite, J. B., C. H. Fry, and J. A. S. McGuigan: Relationship between internal calcium and outward current in mammalian ventricular muscle; A mechanism for the control of the action potential duration? *J. Physiol.* 262:15-37, 1976.

Bassingthwaite, J. B. and H. Reuter: Calcium mo-

vements and Excitation-Contraction coupling in cardiac cells. In: *Electrical Phenomena in the heart* (De Mello ed.). Academic Press, New York, 1972.

Beeler, G. W. and H. Reuter Reconstruction of the action potential of ventricular myocardial fibres. *J. Physiol.* 268:177-210, 1977.

Cleemann, L. and M. Morad: Extracellular potassium accumulation and inward-goint potassium rectification in voltage-clamped ventricular muscle. *Science* 191: 90-92, 1975.

Coraboeuf, E.: Membrane electrical activity and double component contraction in cardiac tissue. *J. Mol. Cell. Cardiol.* 6:215-225, 1974.

Delahayes, J. F.: Depolarization-induced movement of Mn⁺⁺ across the cell membrane in the guinea-pig myocardium. *Circ. Res.* 36:713-718, 1975.

Endo, M., M. Tanaka and Y. Ogawa: Calcium induced release of calcium from the sarcoplasmic reticulum of skinned skeletal muscle fibres. *Nature* 228:34-36, 1970.

Fabiato, A. and F. Fabiato: Relaxing and inotropic effects of cyclic AMP on skinned cardiac cells. *Nature* 253:556-558, 1975.

Fabiato, A. and F. Fabiato: Calcium release from the Sarcoplasmic Reticulum. *Circ. Res.* 40: 119-129, 1977.

Fleckenstein, A.: Specific inhibitors and promotors of calcium action in the excitation-contraction coupling of heart muscle and their role in the prevention or production of myocardial lesions. In: *Calcium and the Heart* (Harris, P. and L. H. Opie ed.). Academic Press, London, 1971.

Ford, L. E. and R. J. Podolsky: Regenerative calcium release within muscle cells. *Science* 167:58-59, 1970.

Fozzard, H. A. and W. R. Gibbons: Action potential and contraction of heart muscle. *Am. J. Cardiol.* 31:182-192, 1973.

Hogan, P. M. and K. W. Spitzer: Manganese and electrogenic phenomena in canine Purkinje fibers. *Circ. Res.* 36:377-391, 1975.

Inui, J. and H. Imamura: Restoration by histamine of the calcium dependent electrical and mechanical response in the guinea-pig papillary muscle partially depolarized by potassium. *Naunyn-Schmiedberg's*

- Arch. Pharmacol. 294:261-269, 1976.
- Isenberg, G.: Is potassium conductance of cardiac Purkinje fibres controlled by $(Ca^{++})_i$? Nature 253: 273-274, 1975.
- Johnson, E. A. and M. Lieberman: Heart; Excitation and contraction. Ann. Rev. Physiol. 33:479-532, 1971.
- Kass, R. S. and R. W. Tsien: Multiple effects of calcium antagonists on plateau currents in cardiac Purkinje fibers. J. Gen. Physiol. 66:169-192, 1975.
- Kass, R. S. and R. W. Tsien: Control of action potential duration by calcium ions in cardiac Purkinje fibers. J. Gen. Physiol. 67:599-617, 1976.
- Katz, A. M. and D. I. Repke: Calcium-membrane interactions in the myocardium: Effects of Ouabain, epinephrine and cyclic AMP. Am. J. Cardiol. 31: 193-201, 1973.
- Kohlhardt, M., H. Krause, M. Kübler, and A. Herdy: Kinetics of inactivation and recovery of the slow inward current in the mammalian ventricular myocardium. Pflügers Arch. 355:1-17, 1975.
- Langer, G. A.: Heart: Excitation-contraction coupling. Ann. Rev. Physiol 35:55-86, 1973.
- Langer, G. A.: Events at the cardiac sarcolemma: localization and movement of contractile-dependent calcium. Fed. Proc. 35:1274-1278, 1976.
- Mainwood, G. W. and J. A. S. McGuigan: Evidence for inward calcium current in the absence of external sodium in rat myocardium. Experientia 33:67-69, 1977.
- Miledi, R.: Lanthanum ions abolish "calcium response" of nerve terminals. Nature 229:410-411, 1971.
- Nayler, W. G. and R. Seabra-Gomes: Excitation-contraction coupling in cardiac muscle. Prog. Cardiovasc. Dis. 18:75-88, 1975.
- New, W. and W. Trautwein: Inward membrane currents in mammalian myocardium. Pflügers Arch. 334:1-23, 1972.
- Noble, D.: The initiation of the heartbeat. Clarendon Press, Oxford, 1975.
- Noble, D. and R. W. Tsien: The repolarization process of heart cells. In: Electrical phenomena in the heart (De Mollo ed.). Academic Press, New York. 1972.
- Pappano, A. J.: Calcium-dependent action potentials produced by catecholamines in guinea-pig atrial muscle fibers depolarized by potassium. Circ. Res. 27: 379-390, 1970.
- Reuter, H.: The dependence of slow inward current in Purkinje fibers on the extracellular calcium concentration. J. Physiol. 192:479-492, 1967.
- Reuter, H.: Divalent cations as charge carriers in excitable membranes. Prog. Biophys. Mol. Biol. 26: 1-43, 1973.
- Reuter, H.: Exchange of calcium ions in the mammalian myocardium. Circ. Res. 34:599-605, 1974.
- Rich, T. L. and G.A. Langer: A Comparison of excitation-contraction coupling in heart and skeletal muscle: An examination of "Calcium-induced calcium-release". J. Mol. Cell. Cardiol. 7: 747-765, 1975.
- Rougier, O., Y. M. Gargouil, and E. Coraboeuf: Existence and role of a slow inward current during the frog atrial action potential. Pflügers Arch. 308:91-110, 1967.
- Rougier, O., G. Vassort and R. Stämpfli: Voltage clamp experiments on frog atrial heart muscle fibers with sucrose gap technique. Pflügers Arch. 301:91-108, 1968.
- Sanborn, W. G. and G. A. Langer: Specific uncoupling of excitation and contraction in mammalian cardiac tissue by Lanthanum. J. Gen. Physiol. 56:191-217, 1970.
- Schneider, J. A. and N. Sperelakis: Slow Ca^{++} and Na^+ responses induced by isoproterenol and methylxanthines in isolated perfused guinea-pig hearts exposed to elevated K^+ . J. Mol. Cell. Cardiol. 7: 249-273, 1975.
- Trautwein, W.: Membrane currents in cardiac muscle fibers. Physiol. Rev. 53:793-835, 1973a.
- Trautwein, W.: The slow inward current in mammalian myocardium. Its relation to contraction. Eur. J. Cardiol. 1:169-175, 1973b.
- Trautwein, W., T. F. McDonald, and O. Tripathi: Calcium conductance and tension in mammalian ventricular muscle. Pflügers Arch. 354:55-74, 1975.
- Tsien, R. W.: Adrenaline-like effects of intracellular iontophoresis of cyclic AMP in cardiac Purkinje

--Earm, Y.E.: Slow inward current and contraction in papillary muscle--

- fibres. *Nature, New biol.* 245:120-122, 1973.
- Vitek, M. and W. Trautwein: *Slow inward current and action potential in cardiac Purkinje fibers. The effect of Mn⁺⁺.* *Pflügers Arch.* 323:204-218, 1971.
- Weidmann, S.: *The effect of cardiac membrane potential on the rapid availability of the sodium carrying system.* *J. Physiol.* 127:213-224, 1955.
- Weidmann, S.: *Heart: Electrophysiology.* *Ann. Rev. Physiol.* 36:155-169, 1974.
- Weiss, G. B.: *Cellular pharmacology of Lanthanum.* *Ann. Rev. Pharmacol.* 14:343-354, 1974.